

## 방사성 폐기물 소각공정을 위한 DeNOx(SCR법) 연구

황재영, 김상환, 양희성<sup>1)</sup>  
전국대학교

정홍석, 김인태, 이한수, 김종호, 안도희  
한국원자력연구소

### 요약

방사성 폐기물 소각로에서 발생하는 off-gas중에는 NOx가 포함되어 있으며 이를 제어하기 위하여 NOx 배출의 제어에 효과적이라고 알려진 SCR 법을 사용하여 실험을 행하였다. NOx방출 저감화를 위해 상업화된 다양한 촉매들 중에서 V<sub>2</sub>O<sub>5</sub>, MoO<sub>3</sub>, Fe<sub>2</sub>O<sub>3</sub> 그리고 SnO<sub>2</sub>를 TiO<sub>2</sub> honeycomb 형태의 담체에 담지시켜 제조한 촉매들의 특성을 조사하고 여러 변수들, 예를 들면 촉매의 종류, 담체의 종류, 반응온도, feed의 조성 등이 반응특성에 미치는 영향을 실험실 규모의 반응기에서 조사하였다. 10% V<sub>2</sub>O<sub>5</sub>/TiO<sub>2</sub> honeycomb 촉매가 350°C에서 94.4%의 높은 NO→N<sub>2</sub> 전환율을 보였으며 열적 안정성이 좋은 SnO<sub>2</sub>나 MoO<sub>3</sub>의 첨가는 높은 전환율을 보이는 온도 범위를 확장시켜 주었다.

### 1. 서론

원자력 발전소 및 관련설비에서 발생되는 가연성 폐기물은 전체 발생 폐기물의 약 35% 이상을 차지하는데 이들을 소각처리할 경우, 처분대상 폐기물의 부피를 상당히 감소시킬 수 있고 폐기물을 무기안정화시켜 처분장의 안정성을 제고시키는 장점이 있다. 가연성 잡고체 폐기물의 조성은 종이류, 의류, Polyethylene, Polyvinyl Chloride, Rubber, Oil(폐유) 그리고 기타 물질로 이루어지는데 이런 물질들이 연소하면서 분진과 CO, CO<sub>2</sub>, HCl, SO<sub>x</sub> 및 NO<sub>x</sub>등의 유해기체가 발생된다.

이중 NOx는 스모그와 산성비를 형성하는 원인이 되고 오존을 고갈시키므로 인체와 동·식물 및 재료에 미치는 영향이 심각하다. 따라서 주 대기오염물질로 규정되어 법으로 배출량이 규제되고 있으며, 현재의 법규와 예상되는 미래의 법규에 대처하기 위하여 효과적으로 NOx의 배출을 제어하는 것이 필요하다.

대단위 공장이나 보일러 시설에서 NOx방출을 제어하기 위한 가장 효과적인 방법으로 선택적 촉매 환원법(Selective Catalyst Reduction, SCR)이 사용되고 있다. SCR법은 NH<sub>3</sub>, CO, H<sub>2</sub>S 또는 NH<sub>3</sub> 등의 환원제를 사용하여 NO를 무해한 N<sub>2</sub>와 H<sub>2</sub>O로 환원시켜 제거하는 방법으로 이중

1) 현대중공업 주식회사

$\text{NH}_3$ 가 NO에 대한 선택성이 높아 널리 이용되고 있다.

본 실험에서는 모조가스(simulated gas)를 사용하여 실험실 규모의 소형반응기에서  $\text{NH}_3$ 를 이용한 NO 환원반응의 활성에 영향을 주는 반응온도, 담체의 종류,  $\text{NH}_3$ ,  $\text{O}_2$ 와  $\text{SO}_2$ 의 농도, 공간속도, sulfate ion 그리고 알칼리 금속의 첨가에 대한 영향을 조사하였다. 여기서 사용된 촉매는  $\text{V}_2\text{O}_5$ ,  $\text{MoO}_3$ ,  $\text{Fe}_2\text{O}_3$  그리고  $\text{SnO}_2$ 이다.

## 2. 실험

반응기 내의 압력강하를 최소화하기 위하여  $\text{TiO}_2$  honeycomb 형태의 담체에 담지된 금속산화물촉매들을 parallel flow reactor에서 사용하였다. Fig. 1에서 보이는 것처럼 금속산화물촉매들은 수용성 금속 용액으로  $\text{TiO}_2$  honeycomb(200cells/ $\text{m}^2$ )에 함침(impregnation)시켜 준비하였다. 담지된 촉매들은 90°C에서 건조된 후, 500°C에서 공기를 흘려주면서 5시간동안 소성되었다. 촉매들의 표면적은 질소의 b.p.에서  $\text{N}_2$ 흡착에 의한 BET 방법에 의해서 측정되었다. Reactor에 들어가는 모조가스의 조성은 0.04% NO, 0.04%  $\text{NH}_3$ , 3.0%  $\text{O}_2$ , 그리고 나머지는  $\text{N}_2$ 인 것을 사용하였으며, 반응기를 통한 가스의 공간속도는  $5000\text{hr}^{-1}$ 로 유지되었다. NO,  $\text{NH}_3$ ,  $\text{O}_2$ 의 농도는 ENERAC 2000 gas analyser에 의해서 측정되었다.

## 3. 결과 및 토론

$\text{TiO}_2$  honeycomb에 10% 담지된  $\text{V}_2\text{O}_5$ 촉매는 Fig. 2에서 보이는 것처럼 온도에 따른 활성도의 변화가 종모양을 하고 있으며  $\text{NO}\rightarrow\text{N}_2$ 의 최대 전환율은 350°C에서 94.4%로 나타났다. 또한  $\text{SO}_2$ 의 존재하에서도  $\text{V}_2\text{O}_5$  촉매는 높은 활성을 보이므로 황 피독에 대해서 매우 강한 저항을 갖는 것으로 보인다.

Feed내의  $\text{O}_2$ 의 존재는 Fig. 3처럼  $\text{NH}_3$ 에 대한 NO의 환원속도를 증가시키는 경향을 보이는데, ~1.0%까지의  $\text{O}_2$  농도증가에서 NO전환율이 급격히 증가하지만, 1% 이상에서는  $\text{O}_2$  농도변화에 따른 NO전환율의 차이는 거의 없다.

IR spectra를 통해  $\text{V}_2\text{O}_5$ 촉매의 활성점인  $\text{V}^{5+}=0$ 와 V-O-V결합들의 존재를 확인하였으며, XRD 분석으로 V와 모조가스에 포함된  $\text{SO}_2$ 사이의 상호작용으로  $\text{VOSO}_4$ 가 형성됨을 알 수 있었다.

Fig. 4에서 보여지는 바와 같이  $\text{V}_2\text{O}_5$ 의 촉매활성도는 촉매에서 sulfate ion(1%)의 첨가에 의해 증가되었고, 반면에  $\text{Na}_2\text{O}$ 와  $\text{K}_2\text{O}$ (1%)와 같은 알칼리금속 산화물들의 첨가는  $\text{V}_2\text{O}_5$ 촉매의 활성도를 감소시켰다.

10%가 담지된  $\text{MoO}_3$ 촉매는 Fig. 5에서 보이는 바와 같이  $\text{NO}\rightarrow\text{N}_2$ 로의 최대전환율은 450°C에서 약 55%를 나타낸다. 이것은  $\text{MoO}_3$ 촉매들이  $\text{NO}\rightarrow\text{N}_2$ 환원에 대한 활성은 작지만 고온의 열순환에 대하여 강한 저항을 갖는다는 것을 의미할 수 있다.

10%  $\text{Fe}_2\text{O}_3$ 촉매들은 촉매활성도가 특히 350°C이상의 온도에서 모조가스안의  $\text{SO}_2$ 가 없는 것과 비교해서  $\text{SO}_2$ 가 존재할 때 증가하는 것을 보여준다. 이것은 촉매상에 sulfate ion의 존재로부터

기인할 수 있다.  $TiO_2$  honeycombs에 담지된  $NiSO_4$  측매의 활성도도 비슷한 결과들이 관찰되었다.

저온에서 높은 활성도를 갖는  $V_2O_5$  측매에 고온에서 열저항특성이 좋은  $MoO_3$ 의 첨가는 Fig. 6에서 처럼 고온에서 우수한 활성도를 유발시키는 개개의 측매 상승효과(synergetic effects)를 보여준다. Fig. 7에서 나타난 바와 같이  $SnO_2$ 을 조측매로 사용한  $V_2O_5$  측매는  $V_2O_5$  측매에 비해 활성도가 증가하며 높은 활성도를 가지는 온도 범위도  $V_2O_5$  측매만의 온도범위에 비해 넓어졌다.

#### 참 고 문 헌

1. KATOH, K., et al. *Characterization on Incineration Residue of Radioactive Solid Wastes*, Journal of the Japanese Nuclear Society, Vol 31, No. 8(1989)
2. K. J. Whiting et al., *How Can Incineration Processes Meet the Stringent European Requirements for NOx Emissions*, Incineration Conference(1992)

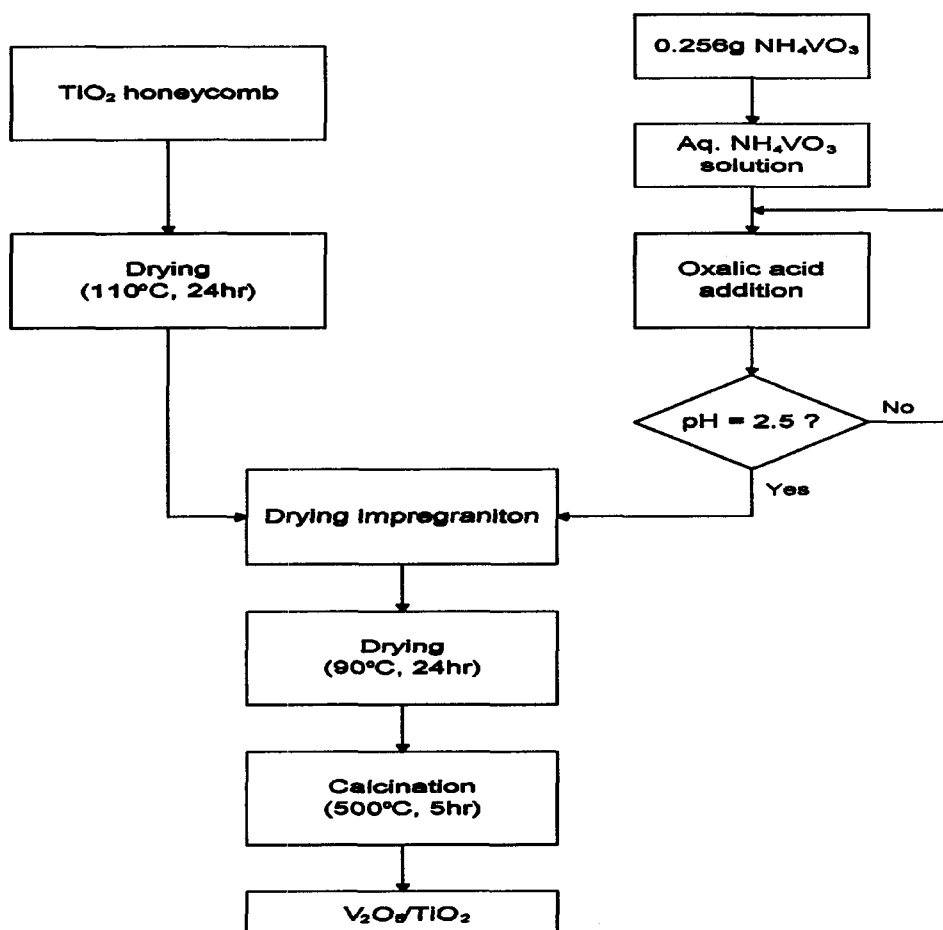


Fig. 1 Impregnation Procedure for  $V_2O_5/TiO_2$  catalyst preparation.

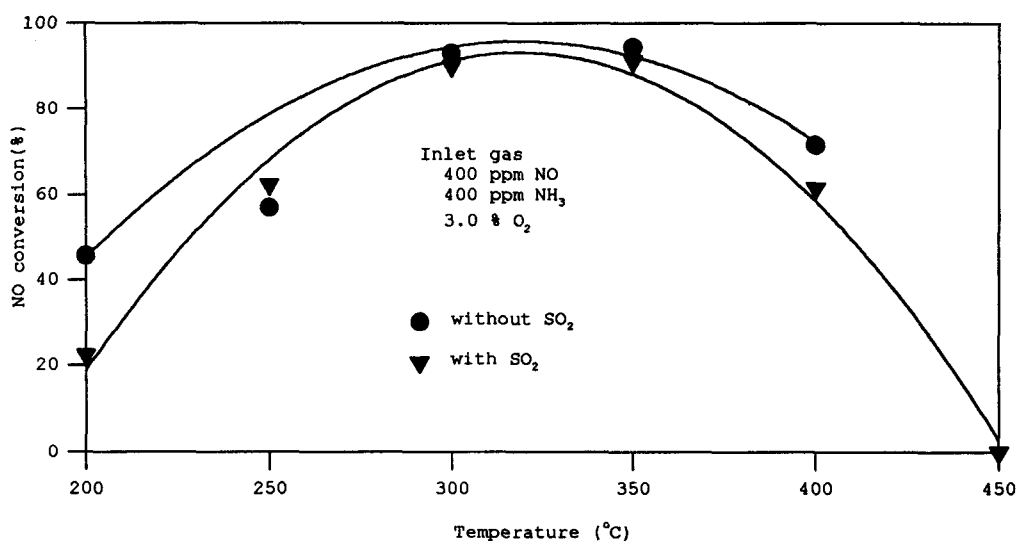


Fig. 2 Catalytic activity of 10%  $V_2O_5/TiO_2$  catalyst without and with  $SO_2$  in the feed.

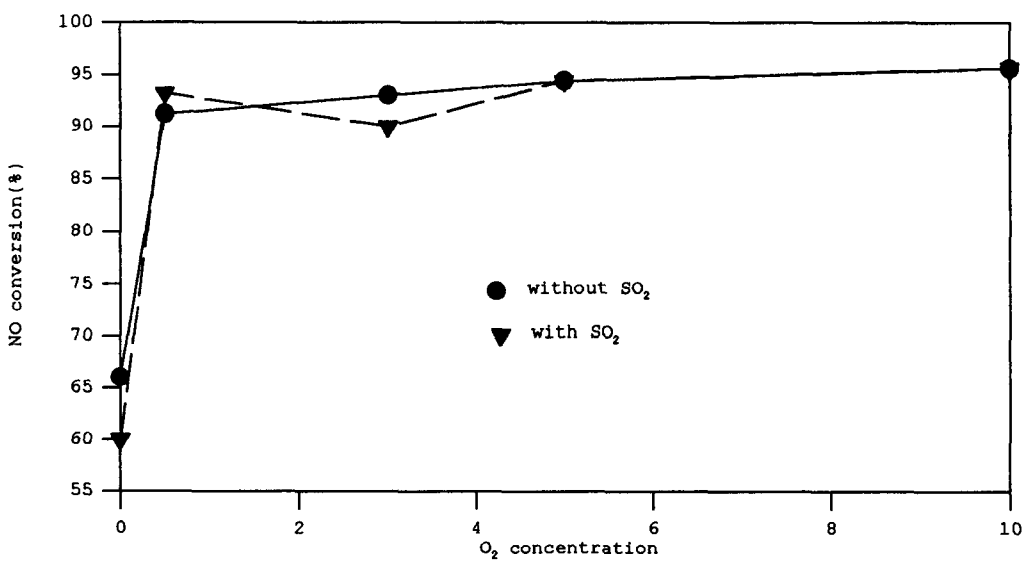


Fig. 3 Effect of concentration without and with  $SO_2$  in the feed on the catalytic activity of 10%  $V_2O_5/TiO_2$  catalyst at 300°C.

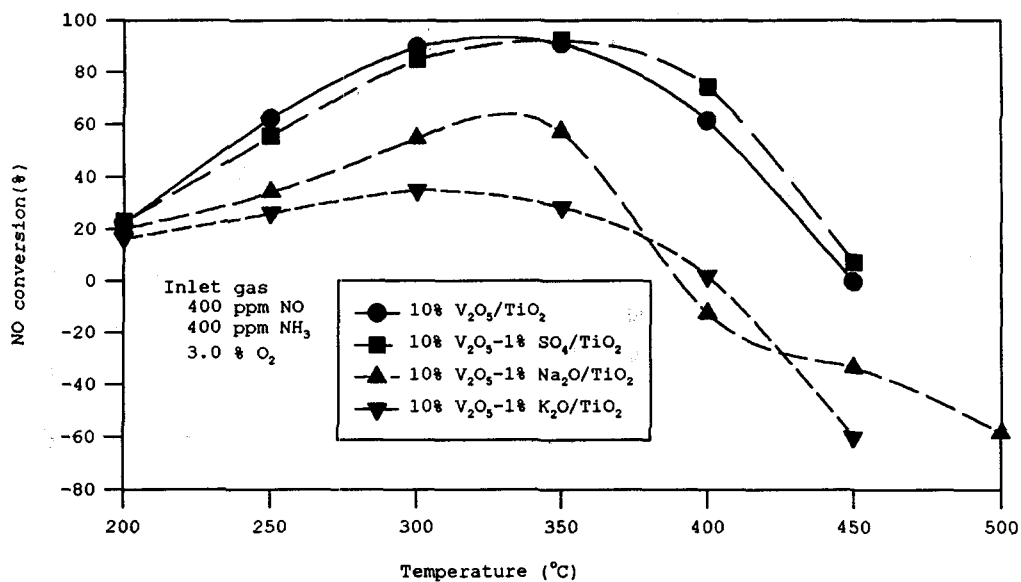


Fig. 4 Effect of temperature on catalytic activities of 10%  $V_2O_5/TiO_2$ , 10%  $V_2O_5-1\% SO_4/TiO_2$ , 10%  $V_2O_5-1\% Na_2O/TiO_2$ , and 10%  $V_2O_5-1\% K_2O/TiO_2$  catalysts with  $SO_2$  in the feed.

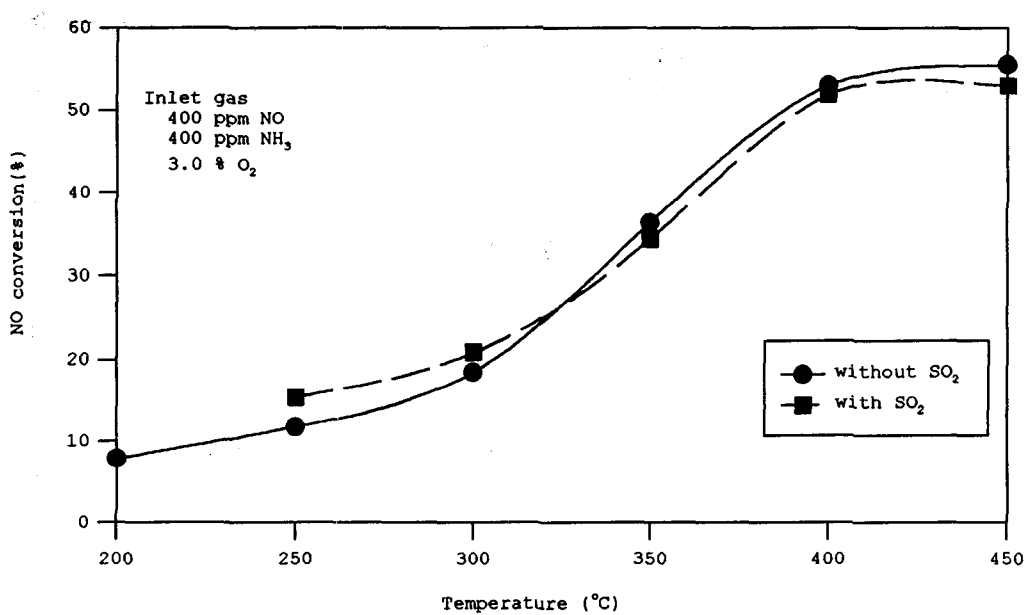


Fig. 5 Catalytic activity of 10%  $MoO_3/TiO_2$  catalyst without and with  $SO_2$  in the feed.

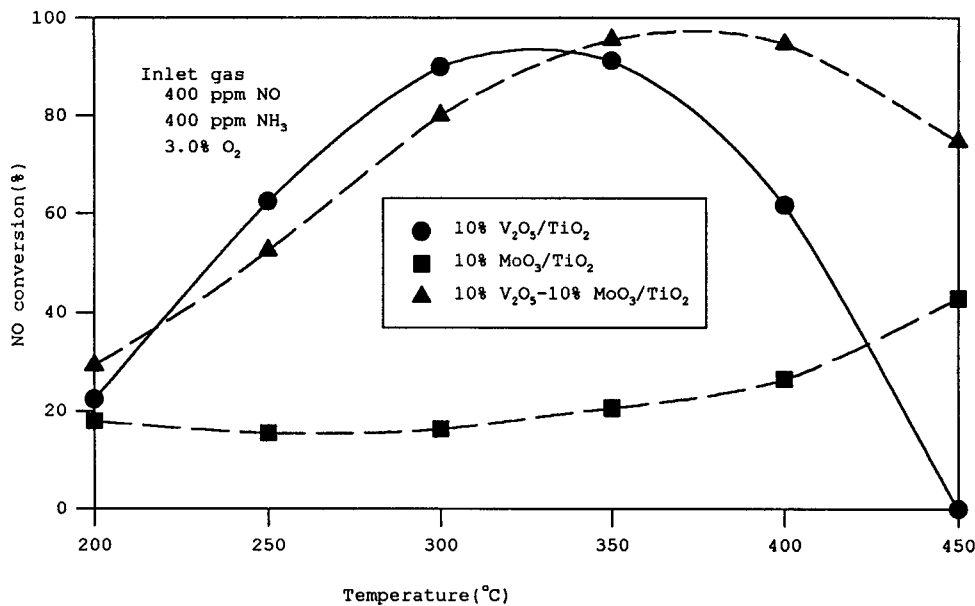


Fig. 6 Effect of temperature on catalytic activities of 10% V<sub>2</sub>O<sub>5</sub>/TiO<sub>2</sub>, 10% MoO<sub>3</sub>/TiO<sub>2</sub>, and 10% V<sub>2</sub>O<sub>5</sub>-10% MoO<sub>3</sub>/TiO<sub>2</sub> catalysts with SO<sub>2</sub> in feed.

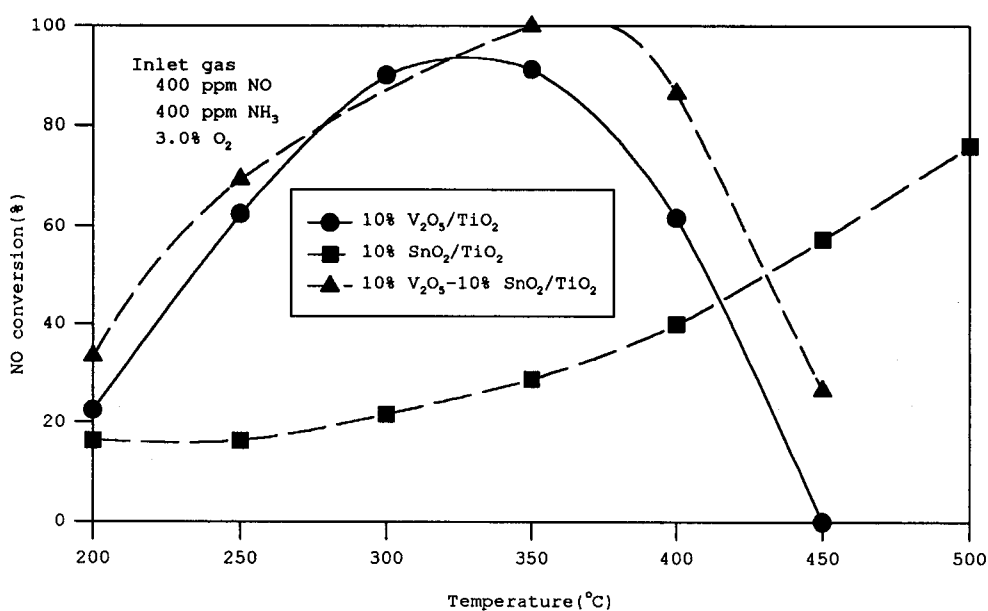


Fig. 7 Effect of temperature on catalytic activities of 10% V<sub>2</sub>O<sub>5</sub>/TiO<sub>2</sub>, 10% SnO<sub>2</sub>/TiO<sub>2</sub>, and 10% V<sub>2</sub>O<sub>5</sub>-10% SnO<sub>2</sub>/TiO<sub>2</sub> catalysts with SO<sub>2</sub> in feed.